

## 様式C－19

### 科学研究費助成事業（科学研究費補助金）研究成果報告書

平成24年6月22日現在

機関番号：82108

研究種目：基盤研究（C）

研究期間：2009～2011

課題番号：21560025

研究課題名（和文） マグネシウムタンタル酸バリウムと亜鉛タンタル酸バリウムの単結晶育成開発

研究課題名（英文） Development of the BaO - Mg(Zn)O - Ta<sub>2</sub>O<sub>5</sub> ternary phase diagram for single crystal growth of the Ba(Mg<sub>1/3</sub>Ta<sub>2/3</sub>)O<sub>3</sub> and Ba(Zn<sub>1/3</sub>Ta<sub>2/3</sub>)O<sub>3</sub> using off-stoichiometric composition method

研究代表者

KOLODIAZHNYYI TARAS (KOLODIAZHNYYI TARAS)

独立行政法人物質・材料研究機構・超伝導物性ユニット・主任研究員

研究者番号：80469767

研究成果の概要（和文）：1450°CでのBaO-MgO-Ta<sub>2</sub>O<sub>5</sub>系相関系調査を完了。3個の三元相（3:1:1ペロブスカイトBa<sub>3</sub>MgTa<sub>2</sub>O<sub>9</sub>、9:1:7TTBタイプBa<sub>9</sub>MgTa<sub>14</sub>O<sub>45</sub>、4:1:5Ba<sub>4</sub>MgTa<sub>10</sub>O<sub>30</sub>）を発見。1600°CではBa<sub>10</sub>Mg<sub>0.25</sub>Ta<sub>7.9</sub>O<sub>30</sub>（10層6角ペロブスカイト構造）を見つけた。Ba<sub>9</sub>MgTa<sub>14</sub>O<sub>45</sub>相は、量子強誘電体特性を示す。BaO-MgO-Ta<sub>2</sub>O<sub>5</sub>合成場における二相、三相に関連した、相反する内容のいくつかのレポートの検証も行った。

研究成果の概要（英文）：We completed investigation of the phase relation in the BaO-MgO(TzN)-Ta<sub>2</sub>O<sub>5</sub> system equilibrated at 1450 ° C. In the BaO-MgO-Ta<sub>2</sub>O<sub>5</sub> system we found three ternary phases, namely 3:1:1 perovskite Ba<sub>3</sub>MgTa<sub>2</sub>O<sub>9</sub>, 9:1:7 TTB (tetragonal tungsten bronze)-type Ba<sub>9</sub>MgTa<sub>14</sub>O<sub>45</sub> and 4:1:5 Ba<sub>4</sub>MgTa<sub>10</sub>O<sub>30</sub> with close relation to the tungsten bronze structure. Another ternary phase, Ba<sub>10</sub>Mg<sub>0.25</sub>Ta<sub>7.9</sub>O<sub>30</sub>, with 10 layer hexagonal perovskite structure can be only obtained after equilibration at 1600 ° C. The Ba<sub>9</sub>MgTa<sub>14</sub>O<sub>45</sub> phase shows quantum ferroelectric properties.

We have also clarified several contradictory reports related to the ternary and binary phases in the BaO-MgO-Ta<sub>2</sub>O<sub>5</sub> composition field. For example, we found no evidence of the hexagonal Ba<sub>9</sub>Mg<sub>4</sub>Ta<sub>20</sub>O<sub>63</sub> phase that was claimed by R. S. Roth [‘Phase Equilibria of Experimental Ceramic Systems’, NIST Project Report, Report No. 1, Contract No. SB1341-02-W-0787, National Institute of Standards and Technology, Ceramics Division; Gaithersburg, Maryland; 2 pp. (2003)], nor we can confirm the existence of the Ba<sub>7</sub>Ta<sub>6</sub>O<sub>22</sub> phase reported by several authors [J. S. Kim, J.-W. Kim, C. I. Cheon, Y.-S. Kim, S. Nahm, J. D. Byun, *J. Eur. Ceram. Soc.*, 2001, **21**, 2599; C.-M. Cheng, Y.-T. Hsieh, C.-F. Yang, *Ceram. Int.*, 2002, **28**, 255; X. M. Chen, Y. Suzuki, N. Sato, *J. Mater. Sci.: Materials in Electronics*, 1994, **5**, 244]. The TTB type Ba<sub>9</sub>MgTa<sub>14</sub>O<sub>45</sub> forms along the BaTa<sub>2</sub>O<sub>6</sub>-Ba<sub>3</sub>MgTa<sub>2</sub>O<sub>9</sub> join. We found that only hexagonal polymorph of the BaTa<sub>2</sub>O<sub>6</sub> phase exists along the Mg<sub>4</sub>Ta<sub>2</sub>O<sub>9</sub>-BaTa<sub>2</sub>O<sub>6</sub> tie line.

In the BaO-ZnO-Ta<sub>2</sub>O<sub>5</sub> system we could not confirm the existence of the Ba<sub>4</sub>ZnTa<sub>10</sub>O<sub>30</sub> compound. Instead, a Ba<sub>3</sub>ZnTa<sub>8</sub>O<sub>24</sub> phase has been found along the ZnTa<sub>2</sub>O<sub>6</sub>-BaTa<sub>2</sub>O<sub>6</sub> tie line.

Using single crystal structural analysis we have demonstrated that the  $\text{Ba}_3\text{ZnTa}_8\text{O}_{24}$  phase is isotypical with the  $\text{Ba}_4\text{MgTa}_{10}\text{O}_{30}$  phase and discussed the reasons for the difference in the chemical composition of these phases.

## 交付決定額

(金額単位：円)

	直接経費	間接経費	合 計
2009 年度	800,000	240,000	1,040,000
2010 年度	800,000	240,000	1,040,000
2011 年度	700,000	210,000	910,000
年度			
年度			
総 計	2,300,000	690,000	2,990,000

研究分野：誘電セラミックス

科研費の分科・細目：1-40 GHz レンジのマイクロ波誘電共振器用低損失セラミックス

キーワード：誘電セラミックス、複合ペロブスカイト、マイクロ波誘電損失、誘電共振器

### 1. 研究開始当初の背景

低損失誘電セラミックスは、マイクロ波領域の通信人工衛星やワイヤレス通信システムに使用されている。このセラミックスを応用することで、マイクロ波電子部品の重量とサイズを大幅に改善することができる。

### 2. 研究の目的

将来のワイヤレス通信および宇宙産業では、誘電損失が、10 GHz で誘電正接  $1.5 \times 10^{-5}$  以下であることが求められる。当プロジェクトでは、 $\text{Ba}(\text{Mg}_{1/3}\text{Ta}_{2/3})\text{O}_3$  と  $\text{Ba}(\text{Zn}_{1/3}\text{Ta}_{2/3})\text{O}_3$  の単結晶によってこの要求にこたえる。

### 3. 研究の方法

工業規模の低損失単結晶を育成するためには、未だ明確ではない  $\text{BaO}-\text{Mg}(\text{Zn})\text{O}-\text{Ta}_2\text{O}_5$  の三元相状態図を確立する必要がある。三元系相平衡についての知識に基づき、マイクロ波低損失共振器の材料となる単結晶の育成方法を開発することが可能と思われる。

### 4. 研究成果

1450°Cに平衡した  $\text{BaO}-\text{MgO}-\text{Ta}_2\text{O}_5$  系の位相関係についての調査を完了した。

その結果、3 個の三元相を発見した。3:1:1 ペロブスカイト  $\text{Ba}_3\text{MgTa}_{29}$ 、9:1:7 TTB (三包晶タングステンブロンズ) タイプ  $\text{Ba}_9\text{MgTa}_{14}\text{O}_{45}$ 、そしてタングステンブロンズ構造に密接な関係を持つ 4:1:5  $\text{Ba}_4\text{MgTa}_{10}\text{O}_{30}$  である。

また、1600°Cの平衡状態では、別の三元相である  $\text{Ba}_{10}\text{Mg}_{0.25}\text{Ta}_{7.9}\text{O}_{30}$  (10 層 6 角ペロブスカイト構造) を見つけることができた。

TTB 様の  $\text{Ba}_4\text{Ta}_{10}\text{O}_{29}$ 、 $\text{BaTa}_4\text{O}_{11}$  and  $\text{Ba}_{6.63}\text{Ta}_{34.95}\text{O}_{95}$  中における MgO 溶解度は、2.0 mol% を超えなかった。

$\text{BaTa}_2\text{O}_6$  相の六角多角体のみが  $\text{Mg}_4\text{Ta}_{29}$ - $\text{BaTa}_2\text{O}_6$  結合とともに発見された。

20Hz から 2MHz の領域における誘電特性を測定した結果、 $\text{Ba}_9\text{MgTa}_{14}\text{O}_{45}$  の比誘電率は 9.9 で、周波数分散がなく、誘電ロスも少ないことが分かった。

また、 $\text{BaO}-\text{MgO}-\text{Ta}_2\text{O}_5$  合成場の二相、三相に関連した、対立する内容のいくつかのレポートの検証も行った。

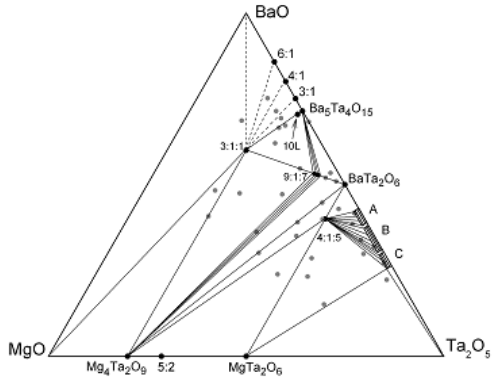


Figure 1. Subsolidus phase diagram of BaO-MgO-Ta<sub>2</sub>O<sub>5</sub> obtained for samples prepared in air at 1450 °C. The 10-layer (10L) hexagonal Ba<sub>10</sub>Mg<sub>0.25</sub>Ta<sub>7.9</sub>O<sub>30</sub> phase included in the figure appears only at 1600 °C and cannot be obtained at 1450 °C. Grey dots are the compositions prepared in this study. Formulae and numbers designate distinct phases. At 1450 °C only three ternary compounds were identified, i.e., 3:1:1 = Ba<sub>3</sub>MgTa<sub>2</sub>O<sub>9</sub>, 9:1:7 = Ba<sub>9</sub>MgTa<sub>14</sub>O<sub>45</sub> and 4:1:5 = Ba<sub>4</sub>MgTa<sub>10</sub>O<sub>30</sub>. In agreement with [T. A. Vanderah, R. S. Roth, T. Siegrist, W. Febo, J. M. Loezos, W. Wong-Ng, *Solid State Sci.*, 2003, **5**, 149] we found that BaO-rich phases, such as 3:1, 4:1 and 6:1 along the BaO-Ta<sub>2</sub>O<sub>5</sub> binary are unstable at room temperature. The 3:1:1 phase forms tie lines with Mg<sub>4</sub>Ta<sub>2</sub>O<sub>9</sub> and 9:1:7 phases. Compositions along the Mg<sub>4</sub>Ta<sub>2</sub>O<sub>9</sub>-BaTa<sub>2</sub>O<sub>6</sub> join contain hexagonal polymorph of the BaTa<sub>2</sub>O<sub>6</sub> phase. Phases labeled A, B, and C are TTB-type compounds described in detail in [T. A. Vanderah, R. S. Roth, T. Siegrist, W. Febo, J. M. Loezos, W. Wong-Ng, *Solid State Sci.*, 2003, **5**, 149]; A = Ba<sub>x</sub>Ta<sub>(10-2x)/5</sub>[Ta<sub>10</sub>O<sub>30</sub>] where 3.40 ≤ x ≤ 3.93, B = Ba<sub>y</sub>Ta<sub>(14-2y)/5</sub>[Ta<sub>22</sub>O<sub>62</sub>] where 5.11 ≤ y ≤ 6.77, C = Ba<sub>z</sub>Ta<sub>(18-2z)/5</sub>[Ta<sub>34</sub>O<sub>94</sub>] where 6.17 ≤ z ≤ 7.42.

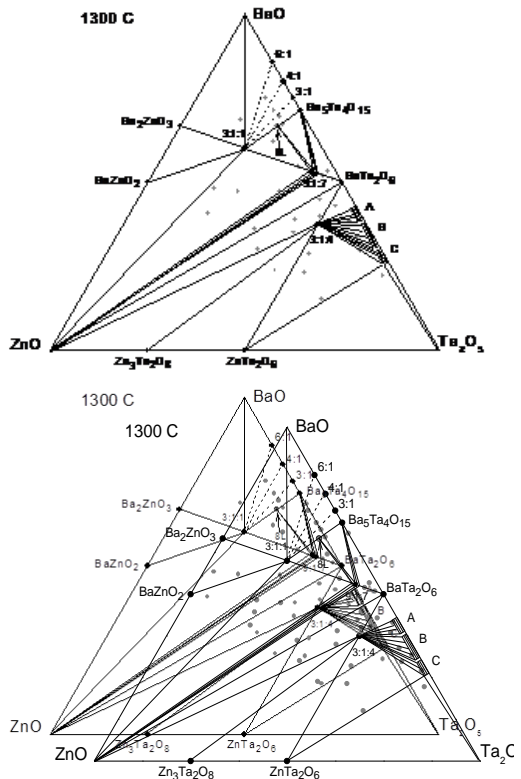


Figure 2. Subsolidus phase diagram of BaO-ZnO-Ta<sub>2</sub>O<sub>5</sub> obtained for samples prepared in air at 1300 °C. The 8L indicates the hexagonal 8:1:3 Ba<sub>8</sub>ZnTa<sub>6</sub>O<sub>24</sub> phase. Grey dots are the compositions prepared in this study. Formulae and numbers designate distinct phases. At 1300 °C three ternary compounds were identified, i.e., 3:1:1 = Ba<sub>3</sub>ZnTa<sub>2</sub>O<sub>9</sub>, 9:1:7 = Ba<sub>9</sub>ZnTa<sub>14</sub>O<sub>45</sub> and 3:1:4 = Ba<sub>3</sub>ZnTa<sub>8</sub>O<sub>30</sub>. The 3:1:4 phase was found to be isostructural with the 4:1:5 = Ba<sub>4</sub>MgTa<sub>10</sub>O<sub>30</sub>. The 3:1:1 phase forms tie lines with ZnO, BaZnO<sub>2</sub>, Ba<sub>2</sub>ZnO<sub>3</sub>, 8:1:3, and 9:1:7 phases. Phases labeled A, B, and C are tetragonal tungsten-bronze type solid solution, Ba<sub>5+5x</sub>Zn<sub>10x/3</sub>Ta<sub>10-10x/3</sub>O<sub>30</sub>, with x = 0.20 to 0.06.

## 5. 主な発表論文等

(研究代表者、研究分担者及び連携研究者には下線)

### [雑誌論文] (計 9 件)

- ① L. Wang, D. A. Rusakov, Y. Sakka, Y. Mozhariivskyj, T. Kolodiaznyi. Novel incipient ferroelectrics based on  $Ba_4MNb_xTa_{10-x}O_{30}$  where M = Zn, Mg, Co, Ni, *Chem. Mat.* 査読有 **23**, 2586 – 2594 (2011).
- ② J. L. M. van Mechelen, D. van der Marel, I. Crassee, T. Kolodiaznyi. Spin resonance in EuTiO<sub>3</sub> probed by time-domain GHz ellipsometry, *Phys. Rev. Lett.* 査読有 **106**, 217601 (2011).
- ③ T. Kolodiaznyi, H. Sakurai, N. Vittayakorn, Spin-flop driven magneto-dielectric effect in Co<sub>4</sub>Nb<sub>2</sub>O<sub>9</sub>, *AppL Phys. Lett.* 査読有 **99**, 132906 (2011).
- ④ L. Wang, Y. Sakka, Y. Shao, G. Botton, T. Kolodiaznyi. Coexistence of A- and B-site vacancy compensation in La-doped Sr<sub>1-x</sub>Ba<sub>x</sub>TiO<sub>3</sub>, *J. Am. Ceram. Soc.* 査読有 **93**, 2903 – 2908 (2010).
- ⑤ T. Kolodiaznyi, K. Fujita, L. Wang, Y. Zong, K. Tanaka, Y. Sakka, E. Takayama-Muromachi. Magnetodielectric effect in EuZrO<sub>3</sub>, *AppL Phys. Lett.*, 査読有 **96**, 252901 (2010).
- ⑥ T. Kolodiaznyi, M. Tachibana, H. Kawaji, J. Hwang, E. Takayama-Muromachi. Persistence of ferroelectricity in BaTiO<sub>3</sub> through the insulator-metal transition, *Phys. Rev. Lett.* 査読有 **104**, 147602 (2010).
- ⑦ T. Shimada, K. Ichikawa, T. Minemura, T. Kolodiaznyi, J. Breeze, N. McN. Alford and G. Annino. Temperature and frequency dependence of dielectric loss of Ba(Mg<sub>1/3</sub>Ta<sub>2/3</sub>)O<sub>3</sub> microwave ceramics, *J. Eur. Ceram. Soc.* 査読有 **30**, 331–334 (2010).
- ⑧ T. Kolodiaznyi, A. A. Belik, T. C. Ozawa, E. Takayama-Muromachi. Phase equilibria in the BaO–MgO–Ta<sub>2</sub>O<sub>5</sub> system, *J. Mat. Chem.* 査読有 **19**, 8212–8215 (2009).
- ⑨ T. Kolodiaznyi, G. Annino, M. Spreitzer, T. Taniguchi, R. Freer, F. Azough, A. Panariello, W. Fitzpatrick. Development of Al<sub>2</sub>O<sub>3</sub> – TiO<sub>2</sub> composite ceramics for high-power millimeter-wave applications, *Acta*

*Materialia*, 査読有 **57**, 3402–3409 (2009).

### [学会発表] (計 1 件)

- ① T. Kolodiaznyi, Subsolidus ternary phase diagram in the BaO–MgO–Ta<sub>2</sub>O<sub>5</sub> system. (Invited talk). 8<sup>th</sup> Pacific Rim Conference on Ceramic and Glass Technology, Vancouver, British Columbia, Canada, May 31 -- June 5, 2009

### [産業財産権]

#### ○出願状況 (計 1 件)

名称 : セラミックス誘導体及びその製造方法

発明者 : T. Kolodiaznyi

権利者 : (独)物質・材料研究機構

種類 : 特許

番号 : 特願 2010-193245

出願年月日 : 2010 年 8 月 31 日

国内外の別 : 国内

## 6. 研究組織

### (1) 研究代表者

KOLODIAZNYI TARAS (Kolodiaznyi Taras)

独立行政法人物質・材料研究機構・

超伝導物性ユニット・主任研究員

研究者番号 : 80469767

### (2) 研究分担者

なし

### (3) 連携研究者

なし